

Mittlere jährliche aktuelle Verdunstungshöhen 1973–1992

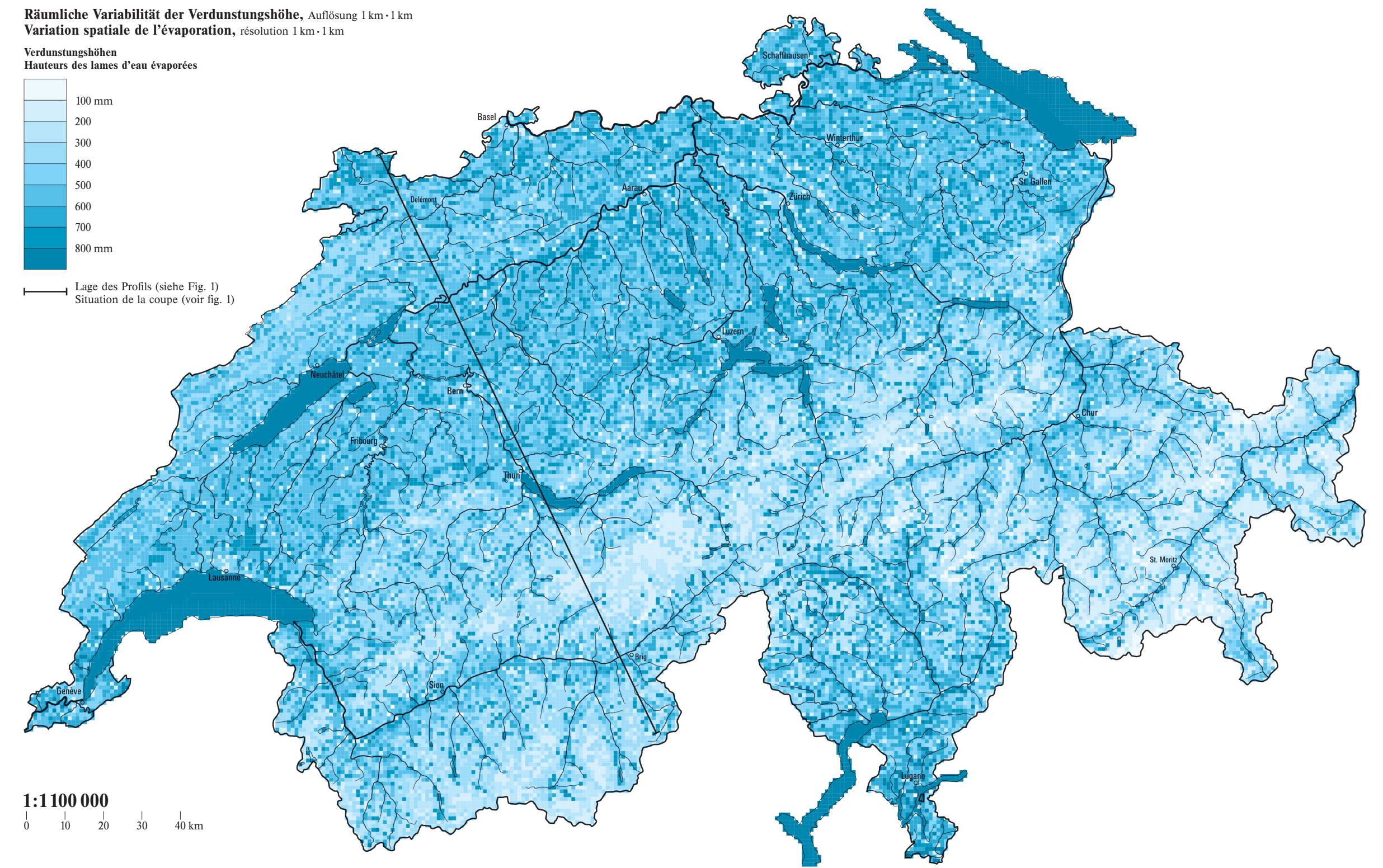
Evaporation réelle annuelle moyenne 1973–1992

Evaporazione effettiva media annuale 1973–1992

Mean Annual Actual Evaporation 1973–1992

Autoren / Auteurs / Autori / Authors:

Lucas Menzel, Herbert Lang, Martin Rohmann
Geographisches Institut der Eidgenössischen
Technischen Hochschule, Zürich
Institut de géographie de l'Ecole polytechnique
fédérale, Zurich



Beispiele zur räumlichen Variabilität der Verdunstungshöhe
Exemples de variations spatiales de l'évaporation

Fig. 1
Variabilität entlang des Profils Ajoie – Valais
Variabilité le long de la coupe Ajoie – Valais

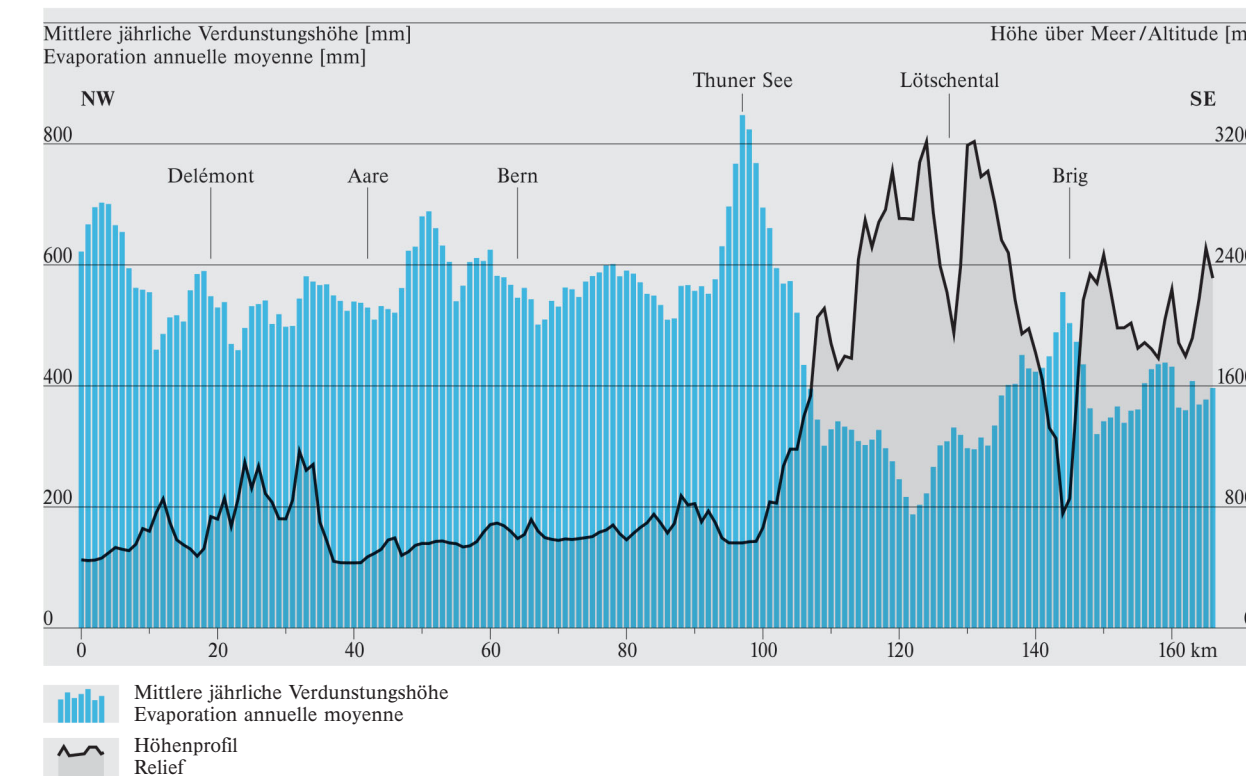
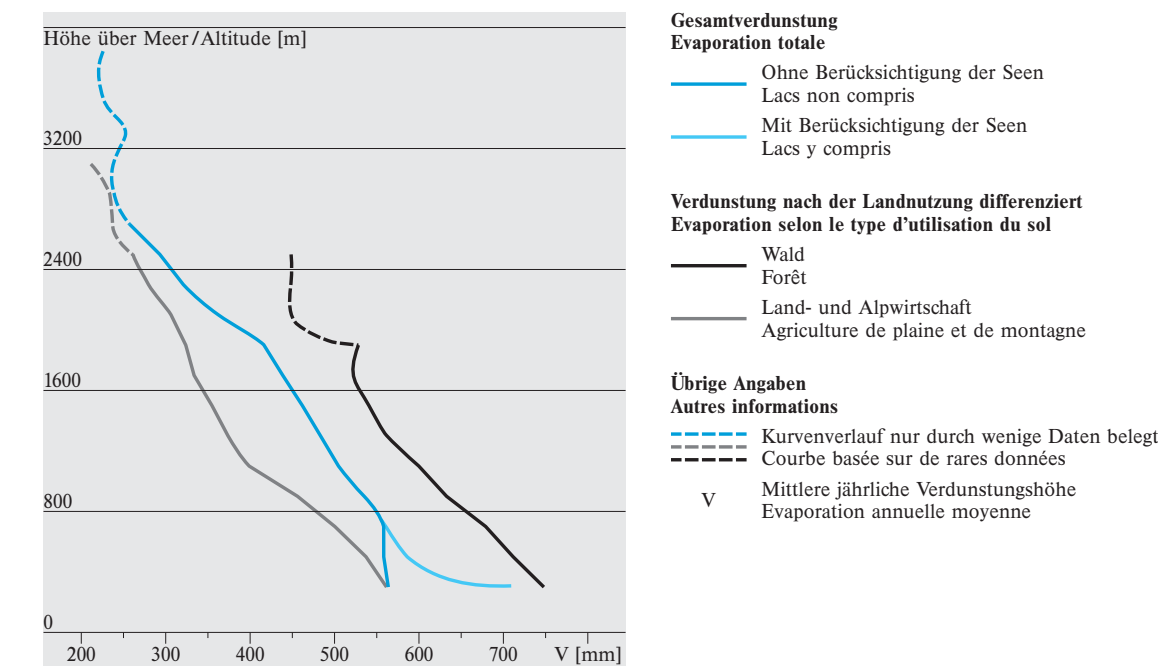


Fig. 2
Höhenabhängigkeit
Variation avec l'altitude



Beispiele zur zeitlichen Variabilität der Verdunstungshöhe
Exemples de variations temporelles de l'évaporation

Fig. 3
Verdunstungsregimes von Waldflächen (Höhenlage 800–1000 m ü. M.) in verschiedenen Regionen
Régimes de l'évaporation en forêt (altitude 800 à 1000 m) pour différentes régions

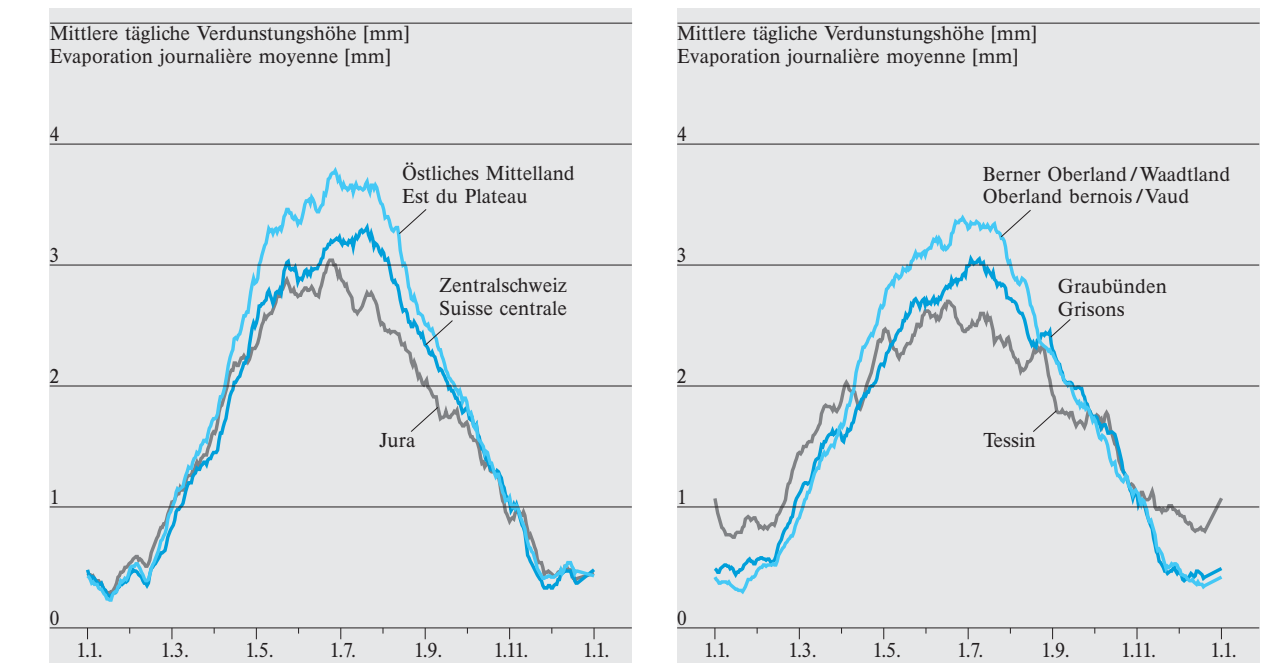


Fig. 4
Verdunstungsregimes verschiedener Landoberflächen
Régimes de l'évaporation pour différents types de terrain

